

---

# I. Einführung und Grundlagen: Wieso Quantenfeldtheorie?

---



TECHNISCHE  
UNIVERSITÄT  
DARMSTADT

---

# I.1 (Relativistische) Quantenfeldtheorien



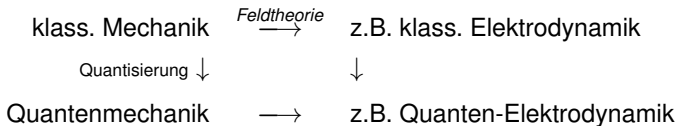
- ▶ vereinen Konzepte der
  - ▶ Quantentheorie
  - ▶ Feldtheorie
  - ▶ (speziellen Relativitätstheorie)



- ▶ vereinen Konzepte der
  - ▶ Quantentheorie
  - ▶ Feldtheorie
  - ▶ (speziellen Relativitätstheorie)
- Basis des *Standardmodells der Elementarteilchenphysik*
  - ▶ Konzepte finden auch Anwendung in:  
Kernphysik, Atomphysik, Festkörperphysik, Astrophysik  
(häufig als nicht-relativistische QFT)

# I.1 (Relativistische) Quantenfeldtheorien

- ▶ vereinen Konzepte der
  - ▶ Quantentheorie
  - ▶ Feldtheorie
  - ▶ (speziellen Relativitätstheorie)
- Basis des *Standardmodells der Elementarteilchenphysik*
  - ▶ Konzepte finden auch Anwendung in:  
Kernphysik, Atomphysik, Festkörperphysik, Astrophysik  
(häufig als nicht-relativistische QFT)
- ▶ schematisch:





## ▶ klassische Mechanik

- ▶ Punkt-Teilchen mit Fern-Wechselwirkung  $\vec{F}(\vec{r}, \vec{r}')$   
z.B. Planetensystem mit Gravitationskraft,  
geladene Teilchen mit Coulomb-Wechselwirkung
- ▶ Potentiale  $V(\vec{r}, t)$ : rein technische Begriffe

## ▶ klassische Mechanik

- ▶ Punkt-Teilchen mit Fern-Wechselwirkung  $\vec{F}(\vec{r}, \vec{r}')$   
z.B. Planetensystem mit Gravitationskraft,  
geladene Teilchen mit Coulomb-Wechselwirkung
- ▶ Potenziale  $V(\vec{r}, t)$ : rein technische Begriffe

## ▶ klassische Elektrodynamik

- ▶ geladene Teilchen wechselwirken über Felder ( $\vec{E}(\vec{r}, t)$ ,  $\vec{B}(\vec{r}, t)$ )
- ▶  $\vec{E}$  und  $\vec{B}$  sind „reale“ Größen, die ein „Eigenleben“ führen:  
*elektromagnet. Wellen* (Licht!)
- ▶ Potenziale  $\phi(\vec{r}, t)$ ,  $\vec{A}(\vec{r}, t)$ : hängen mit  $\vec{E}$  und  $\vec{B}$  zusammen,  
sind aber *eichabhängig* → keine reale Bedeutung
- ▶ Theorie ist „von Natur aus“ (speziell) relativistisch

## ▶ klassische Mechanik

- ▶ Punkt-Teilchen mit Fern-Wechselwirkung  $\vec{F}(\vec{r}, \vec{r}')$   
z.B. Planetensystem mit Gravitationskraft,  
geladene Teilchen mit Coulomb-Wechselwirkung
- ▶ Potentiale  $V(\vec{r}, t)$ : rein technische Begriffe

## ▶ klassische Elektrodynamik

- ▶ geladene Teilchen wechselwirken über Felder ( $\vec{E}(\vec{r}, t)$ ,  $\vec{B}(\vec{r}, t)$ )
- ▶  $\vec{E}$  und  $\vec{B}$  sind „reale“ Größen, die ein „Eigenleben“ führen:  
*elektromagnet. Wellen* (Licht!)
- ▶ Potentiale  $\phi(\vec{r}, t)$ ,  $\vec{A}(\vec{r}, t)$ : hängen mit  $\vec{E}$  und  $\vec{B}$  zusammen,  
sind aber *eichabhängig* → keine reale Bedeutung
- ▶ Theorie ist „von Natur aus“ (speziell) relativistisch

## ▶ Allgemeine Relativitätstheorie

- ▶ klassische Feldtheorie der Gravitation
- ▶ Felder: Komponenten des metrischen Tensors  $g_{\mu\nu}$  → Gravitationswellen

## ▶ Quantenmechanik

- ▶ Welle-Teilchen-Dualismus → Wellenfunktion für die Materie-Teilchen
- ▶ Wechselwirkungspotenziale werden (weitgehend) unverändert aus der klassischen Theorie übernommen.

Bsp.: Schrödinger-Gl. für das Wasserstoff-Atom  
(→ keine Quantisierung des Coulomb-Feldes)

- ▶ relativist. QM: Widersprüche, die erst in der QFT aufgehoben werden (s.u.)





## ▶ Quantenmechanik

- ▶ Welle-Teilchen-Dualismus → Wellenfunktion für die Materie-Teilchen
- ▶ Wechselwirkungspotenziale werden (weitgehend) unverändert aus der klassischen Theorie übernommen.

Bsp.: Schrödinger-Gl. für das Wasserstoff-Atom  
(→ keine Quantisierung des Coulomb-Feldes)

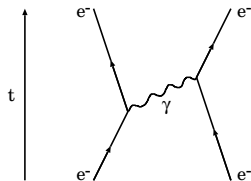
- ▶ relativist. QM: Widersprüche, die erst in der QFT aufgehoben werden (s.u.)

## ▶ Quantenfeldtheorie

- ▶ symmetrische Beschreibung von Materie und Wechselwirkung durch *quantisierte Felder*
- ▶ Welle-Teilchen-Dualismus:  
Wechselwirkung durch Austausch von (virtuellen) Teilchen

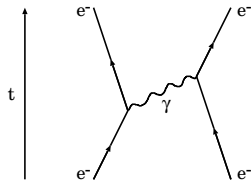
# Beispiel: Quantenelektrodynamik (QED)

- ▶ Elektronen wechselwirken durch den Austausch von Photonen.



# Beispiel: Quantenelektrodynamik (QED)

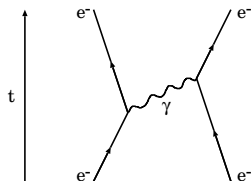
- ▶ Elektronen wechselwirken durch den Austausch von Photonen.
- ▶ Felder:
  - ▶ Elektronfeld  $\psi(x)$
  - ▶ Photonfeld  $A^\mu(x)$  = quantisiertes Viererpotential (Photon = „Eichboson“ der QED)



# Beispiel: Quantenelektrodynamik (QED)

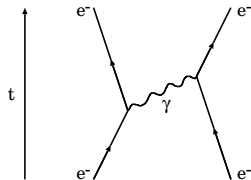
- ▶ Elektronen wechselwirken durch den Austausch von Photonen.
- ▶ Felder:
  - ▶ Elektronfeld  $\psi(x)$
  - ▶ Photonfeld  $A^\mu(x)$  = quantisiertes Viererpotential (Photon = „Eichboson“ der QED)

→ Das „Eichfeld“  $A^\mu$  ist nicht bloß eine technische Hilfsgröße zur Berechnung von  $\vec{E}$  und  $\vec{B}$ , sondern hat fundamentale Bedeutung!



# Beispiel: Quantenelektrodynamik (QED)

- ▶ Elektronen wechselwirken durch den Austausch von Photonen.
- ▶ Felder:
  - ▶ Elektronfeld  $\psi(x)$
  - ▶ Photonfeld  $A^\mu(x)$  = quantisiertes Viererpotential (Photon = „Eichboson“ der QED)



- Das „Eichfeld“  $A^\mu$  ist nicht bloß eine technische Hilfsgröße zur Berechnung von  $\vec{E}$  und  $\vec{B}$ , sondern hat fundamentale Bedeutung!
- ▶ Die QED ist von vornherein relativistisch.

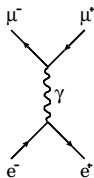
## QED: einige Highlights

- ▶ Vorhersage „neuer“ Prozesse:

► Vorhersage „neuer“ Prozesse:

► Teilchen-Antiteilchen-Annihilation

z.B.  $e^- e^+ \rightarrow \mu^- \mu^+$

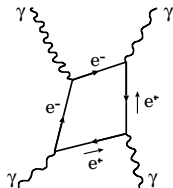
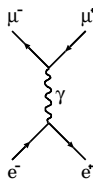


► Vorhersage „neuer“ Prozesse:

- Teilchen-Antiteilchen-Annihilation

z.B.  $e^- e^+ \rightarrow \mu^- \mu^+$

- „Licht-Licht-Streuung“:  $\gamma\gamma \rightarrow \gamma\gamma$





► Vorhersage „neuer“ Prozesse:

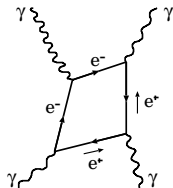
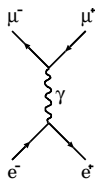
- Teilchen-Antiteilchen-Annihilation

z.B.  $e^- e^+ \rightarrow \mu^- \mu^+$

- „Licht-Licht-Streuung“:  $\gamma\gamma \rightarrow \gamma\gamma$

► anomale magnetische Momente von Elektron und Myon:

- $\mu_i = g_i S \mu_B, \quad S = \frac{1}{2}, \quad \mu_B = \frac{e}{2m}$

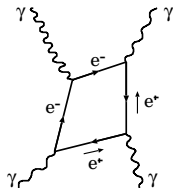
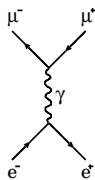


► Vorhersage „neuer“ Prozesse:

- Teilchen-Antiteilchen-Annihilation

z.B.  $e^- e^+ \rightarrow \mu^- \mu^+$

- „Licht-Licht-Streuung“:  $\gamma\gamma \rightarrow \gamma\gamma$



► anomale magnetische Momente von Elektron und Myon:

- $\mu_i = g_i S \mu_B, \quad S = \frac{1}{2}, \quad \mu_B = \frac{e}{2m}$

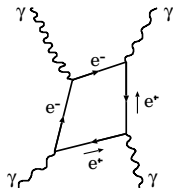
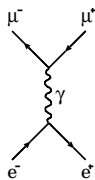
- Dirac:  $g_i = 2$

## ► Vorhersage „neuer“ Prozesse:

- Teilchen-Antiteilchen-Annihilation

z.B.  $e^- e^+ \rightarrow \mu^- \mu^+$

- „Licht-Licht-Streuung“:  $\gamma\gamma \rightarrow \gamma\gamma$



## ► anomale magnetische Momente von Elektron und Myon:

- $\mu_i = g_i S \mu_B, \quad S = \frac{1}{2}, \quad \mu_B = \frac{e}{2m}$

- Dirac:  $g_i = 2$

- experimentell:  $\frac{g_{e-2}}{2} = (1, 159\,652\,180\,73 \pm 0,000\,000\,000\,28) \cdot 10^{-3}$

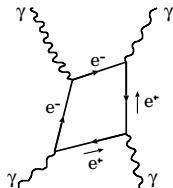
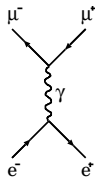
- QED+:  $\frac{g_{e-2}}{2} = (1, 159\,652\,181\,64 \pm 0,000\,000\,000\,76) \cdot 10^{-3}$

## ► Vorhersage „neuer“ Prozesse:

- Teilchen-Antiteilchen-Annihilation

z.B.  $e^- e^+ \rightarrow \mu^- \mu^+$

- „Licht-Licht-Streuung“:  $\gamma\gamma \rightarrow \gamma\gamma$



## ► anomale magnetische Momente von Elektron und Myon:

- $\mu_i = g_i S \mu_B$ ,  $S = \frac{1}{2}$ ,  $\mu_B = \frac{e}{2m}$

- Dirac:  $g_i = 2$

- experimentell:  $\frac{g_\mu - 2}{2} = (1,165\,920\,9 \pm 0,000\,000\,6) \cdot 10^{-3}$

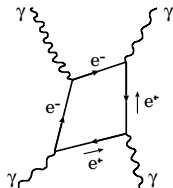
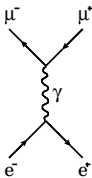
- QED+:  $\frac{g_\mu - 2}{2} = (1,165\,918\,0 \pm 0,000\,000\,5) \cdot 10^{-3}$

## ► Vorhersage „neuer“ Prozesse:

- Teilchen-Antiteilchen-Annihilation

z.B.  $e^- e^+ \rightarrow \mu^- \mu^+$

- „Licht-Licht-Streuung“:  $\gamma\gamma \rightarrow \gamma\gamma$



## ► anomale magnetische Momente von Elektron und Myon:

- $\mu_i = g_i S \mu_B, \quad S = \frac{1}{2}, \quad \mu_B = \frac{e}{2m}$

- Dirac:  $g_i = 2$

- experimentell:  $\frac{g_\mu - 2}{2} = (1,1659209 \pm 0,0000006) \cdot 10^{-3}$

- QED+:  $\frac{g_\mu - 2}{2} = (1,1659180 \pm 0,0000005) \cdot 10^{-3}$

→ Physik jenseits des Standard-Modells ??? (unwahrscheinlich ...)

- Beschreibung der Wechselwirkungen (ohne Gravitation) zwischen den elementaren Fermionen (Quarks und Leptonen) als *Eichtheorien* zu unterschiedlichen *Symmetriegruppen*:

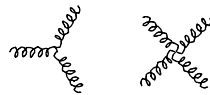
Wechselwirkung	elektromagn.	schwach	stark
Eichgruppe	$U(1)$	$(SU(2))$	$SU(3)$
Eichbosonen	$\gamma$	$W^+, W^-, Z^0$	8 Gluonen
Theorie	QED	QCD	
	elektroschwache WW: $U(1) \times SU(2)$		

- ▶ Beschreibung der Wechselwirkungen (ohne Gravitation) zwischen den elementaren Fermionen (Quarks und Leptonen) als *Eichtheorien* zu unterschiedlichen *Symmetriegruppen*:

Wechselwirkung	elektromagn.	schwach	stark
Eichgruppe	$U(1)$	$(SU(2))$	$SU(3)$
Eichbosonen	$\gamma$	$W^+, W^-, Z^0$	8 Gluonen
Theorie	QED		QCD

elektroschwache WW:  $U(1) \times SU(2)$

- ▶  $SU(2)$ ,  $SU(3)$ : nicht-abelsche Eichgruppen
  - Eichbosonen tragen Ladung
  - Eichbosonen wechselwirken untereinander



- ▶ Beschreibung der Wechselwirkungen (ohne Gravitation) zwischen den elementaren Fermionen (Quarks und Leptonen) als *Eichtheorien* zu unterschiedlichen *Symmetriegruppen*:

Wechselwirkung	elektromagn.	schwach	stark
Eichgruppe	$U(1)$	$(SU(2))$	$SU(3)$
Eichbosonen	$\gamma$	$W^+, W^-, Z^0$	8 Gluonen
Theorie	QED		QCD

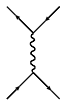
elektroschwache WW:  $U(1) \times SU(2)$

- ▶  $SU(2)$ ,  $SU(3)$ : nicht-abelsche Eichgruppen
  - Eichbosonen tragen Ladung
  - Eichbosonen wechselwirken untereinander
- ▶ diese Vorlesung: hauptsächlich QED

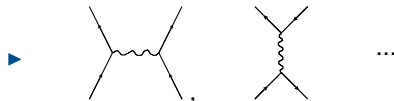




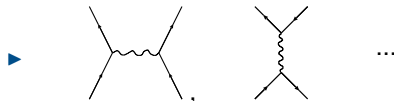
# Feynman-Diagramme



...



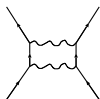
- ▶ nicht nur Veranschaulichung von Prozessen,  
sondern konkrete Rechenregeln zur Berechnung von Wirkungsquerschnitten,  
Zerfallsraten etc.



- ▶ nicht nur Veranschaulichung von Prozessen, sondern konkrete Rechenregeln zur Berechnung von Wirkungsquerschnitten, Zerfallsraten etc.

- ▶ basieren auf einer störungstheoretischen Entwicklung:

z.B.



ist von höherer Ordnung als



- ▶ Verständnis der grundlegenden Konzepte der QFT:
  - ▶ Quantisierung relativistischer Felder (Bosonen mit Spin 0, Fermionen, Photonen)
  - ▶ Symmetrien und Erhaltungsgrößen
  - ▶ wechselwirkende Felder
  - ▶ Streuprozesse (Wirkungsquerschnitt, Übergangsmatrixelemente, Streumatrix)
- ▶ Erlernen von Techniken zur Berechnung einfacher Prozesse
  - ▶ Feynman-Regeln
  - ▶ „Rechentricks“

---

## I.2 Maßeinheiten



TECHNISCHE  
UNIVERSITÄT  
DARMSTADT

---

## I.2 Maßeinheiten

- ▶ SI-Einheiten oft unpraktisch → „natürliche Einheiten“:  $\hbar = c = 1$

## I.2 Maßeinheiten

- SI-Einheiten oft unpraktisch → „natürliche Einheiten“:  $\hbar = c = 1$   
⇒  $\hbar c = 197,33 \text{ MeV fm} = 1$

## I.2 Maßeinheiten

- SI-Einheiten oft unpraktisch → „natürliche Einheiten“:  $\hbar = c = 1$   
⇒  $\hbar c = 197,33 \text{ MeV fm} = 1$   
⇔  $1 \text{ MeV}^{-1} = 197,33 \text{ fm}$  ⇔  $1 \text{ fm}^{-1} = 197,33 \text{ MeV}$



## I.2 Maßeinheiten

► SI-Einheiten oft unpraktisch → „natürliche Einheiten“:  $\hbar = c = 1$

$$\Rightarrow \hbar c = 197,33 \text{ MeV fm} = 1$$

$$\Leftrightarrow 1 \text{ MeV}^{-1} = 197,33 \text{ fm} \quad \Leftrightarrow \quad 1 \text{ fm}^{-1} = 197,33 \text{ MeV}$$

→ nur eine verbleibende Einheit, z.B. 1 MeV ( $= 1,6 \cdot 10^{-13} \text{ J}$ )

## I.2 Maßeinheiten

▶ SI-Einheiten oft unpraktisch → „natürliche Einheiten“:  $\hbar = c = 1$

$$\Rightarrow \hbar c = 197,33 \text{ MeV fm} = 1$$

$$\Leftrightarrow 1 \text{ MeV}^{-1} = 197,33 \text{ fm} \quad \Leftrightarrow \quad 1 \text{ fm}^{-1} = 197,33 \text{ MeV}$$

→ nur eine verbleibende Einheit, z.B. 1 MeV ( $= 1,6 \cdot 10^{-13} \text{ J}$ )

▶ [Energie] = [Masse] = [Impuls] = 1 MeV

## I.2 Maßeinheiten

▶ SI-Einheiten oft unpraktisch → „natürliche Einheiten“:  $\hbar = c = 1$

$$\Rightarrow \hbar c = 197,33 \text{ MeV fm} = 1$$

$$\Leftrightarrow 1 \text{ MeV}^{-1} = 197,33 \text{ fm} \quad \Leftrightarrow \quad 1 \text{ fm}^{-1} = 197,33 \text{ MeV}$$

→ nur eine verbleibende Einheit, z.B. 1 MeV ( $= 1,6 \cdot 10^{-13} \text{ J}$ )

▶  $[\text{Energie}] = [\text{Masse}] = [\text{Impuls}] = 1 \text{ MeV}$

▶  $[\text{Länge}] = [\text{Zeit}] = 1 \text{ MeV}^{-1}$

## I.2 Maßeinheiten

▶ SI-Einheiten oft unpraktisch → „natürliche Einheiten“:  $\hbar = c = 1$

$$\Rightarrow \hbar c = 197,33 \text{ MeV fm} = 1$$

$$\Leftrightarrow 1 \text{ MeV}^{-1} = 197,33 \text{ fm} \quad \Leftrightarrow \quad 1 \text{ fm}^{-1} = 197,33 \text{ MeV}$$

→ nur eine verbleibende Einheit, z.B. 1 MeV ( $= 1,6 \cdot 10^{-13} \text{ J}$ )

▶  $[\text{Energie}] = [\text{Masse}] = [\text{Impuls}] = 1 \text{ MeV}$

▶  $[\text{Länge}] = [\text{Zeit}] = 1 \text{ MeV}^{-1}$

▶  $[\text{Geschwindigkeit}] = \left[ \frac{\text{Länge}}{\text{Zeit}} \right] = 1 \quad (\text{vgl. } c = 1)$

## I.2 Maßeinheiten

▶ SI-Einheiten oft unpraktisch → „natürliche Einheiten“:  $\hbar = c = 1$

$$\Rightarrow \hbar c = 197,33 \text{ MeV fm} = 1$$

$$\Leftrightarrow 1 \text{ MeV}^{-1} = 197,33 \text{ fm} \quad \Leftrightarrow \quad 1 \text{ fm}^{-1} = 197,33 \text{ MeV}$$

→ nur eine verbleibende Einheit, z.B. 1 MeV ( $= 1,6 \cdot 10^{-13} \text{ J}$ )

▶  $[\text{Energie}] = [\text{Masse}] = [\text{Impuls}] = 1 \text{ MeV}$

▶  $[\text{Länge}] = [\text{Zeit}] = 1 \text{ MeV}^{-1}$

▶  $[\text{Geschwindigkeit}] = \left[ \frac{\text{Länge}}{\text{Zeit}} \right] = 1 \quad (\text{vgl. } c = 1)$

▶  $[\text{Wirkung}] = [\text{Energie} \cdot \text{Zeit}] = 1 \quad (\text{vgl. } \hbar = 1)$

## I.2 Maßeinheiten

▶ SI-Einheiten oft unpraktisch → „natürliche Einheiten“:  $\hbar = c = 1$

$$\Rightarrow \hbar c = 197,33 \text{ MeV fm} = 1$$

$$\Leftrightarrow 1 \text{ MeV}^{-1} = 197,33 \text{ fm} \quad \Leftrightarrow \quad 1 \text{ fm}^{-1} = 197,33 \text{ MeV}$$

→ nur eine verbleibende Einheit, z.B. 1 MeV ( $= 1,6 \cdot 10^{-13} \text{ J}$ )

▶  $[\text{Energie}] = [\text{Masse}] = [\text{Impuls}] = 1 \text{ MeV}$

▶  $[\text{Länge}] = [\text{Zeit}] = 1 \text{ MeV}^{-1}$

▶  $[\text{Geschwindigkeit}] = \left[ \frac{\text{Länge}}{\text{Zeit}} \right] = 1 \quad (\text{vgl. } c = 1)$

▶  $[\text{Wirkung}] = [\text{Energie} \cdot \text{Zeit}] = 1 \quad (\text{vgl. } \hbar = 1)$

▶  $[\text{Wirkungsquerschnitt}] = [\text{Fläche}] = [\text{Länge}]^2 = 1 \text{ MeV}^{-2}$

## I.2 Maßeinheiten

▶ SI-Einheiten oft unpraktisch → „natürliche Einheiten“:  $\hbar = c = 1$

$$\Rightarrow \hbar c = 197,33 \text{ MeV fm} = 1$$

$$\Leftrightarrow 1 \text{ MeV}^{-1} = 197,33 \text{ fm} \quad \Leftrightarrow \quad 1 \text{ fm}^{-1} = 197,33 \text{ MeV}$$

→ nur eine verbleibende Einheit, z.B. 1 MeV ( $= 1,6 \cdot 10^{-13} \text{ J}$ )

▶  $[\text{Energie}] = [\text{Masse}] = [\text{Impuls}] = 1 \text{ MeV}$

▶  $[\text{Länge}] = [\text{Zeit}] = 1 \text{ MeV}^{-1}$

▶  $[\text{Geschwindigkeit}] = \left[ \frac{\text{Länge}}{\text{Zeit}} \right] = 1 \quad (\text{vgl. } c = 1)$

▶  $[\text{Wirkung}] = [\text{Energie} \cdot \text{Zeit}] = 1 \quad (\text{vgl. } \hbar = 1)$

▶  $[\text{Wirkungsquerschnitt}] = [\text{Fläche}] = [\text{Länge}]^2 = 1 \text{ MeV}^{-2}$

▶ Ladungen sind i.A. dimensionslose „Kopplungskonstanten“ (s. später)

▶ z.B. Coulomb-Potential  $\phi = \frac{Q}{4\pi r} \Rightarrow [Q] = [\phi r] = 1$



- ▶ Am Ende der Rechnung führt man ggf. entsprechende Potenzen von  $\hbar$  und  $c$  ein, um zu den gewünschten physikalischen Einheiten zurückzukommen.
- ▶ Beispiel:

$$\sigma = a \text{ MeV}^{-2} = a \text{ MeV}^{-2} (\hbar c)^2 = a \text{ MeV}^{-2} (197,33 \text{ MeV fm})^2 = a (197,33)^2 \text{ fm}^2$$



## I.3 Relativistische Notation

---



TECHNISCHE  
UNIVERSITÄT  
DARMSTADT

---

## I.3 Relativistische Notation

►  $x \equiv (x^\mu) = \begin{pmatrix} x^0 \\ \vec{x} \end{pmatrix} = \begin{pmatrix} t \\ \vec{x} \end{pmatrix}$  (griechische Indizes:  $\mu = 0, \dots, 3$ )

## I.3 Relativistische Notation

►  $x \equiv (x^\mu) = \begin{pmatrix} x^0 \\ \vec{x} \end{pmatrix} = \begin{pmatrix} t \\ \vec{x} \end{pmatrix}$  (griechische Indizes:  $\mu = 0, \dots, 3$ )

$$\vec{x} = (x^i) = \begin{pmatrix} x^1 \\ x^2 \\ x^3 \end{pmatrix} \quad (\text{lateinische Indizes: } i = 1, 2, 3)$$

## I.3 Relativistische Notation



▶  $x \equiv (x^\mu) = \begin{pmatrix} x^0 \\ \vec{x} \end{pmatrix} = \begin{pmatrix} t \\ \vec{x} \end{pmatrix}$  (griechische Indizes:  $\mu = 0, \dots, 3$ )

$$\vec{x} = (x^i) = \begin{pmatrix} x^1 \\ x^2 \\ x^3 \end{pmatrix} \quad (\text{lateinische Indizes: } i = 1, 2, 3)$$

▶  $(x_{\mu}) = \begin{pmatrix} x_0 \\ x_1 \\ x_2 \\ x_3 \end{pmatrix} = \begin{pmatrix} x^0 \\ -x^1 \\ -x^2 \\ -x^3 \end{pmatrix} = \begin{pmatrix} x^0 \\ -\vec{x} \end{pmatrix} = \begin{pmatrix} t \\ -\vec{x} \end{pmatrix}$

## I.3 Relativistische Notation

▶  $x \equiv (x^\mu) = \begin{pmatrix} x^0 \\ \vec{x} \end{pmatrix} = \begin{pmatrix} t \\ \vec{x} \end{pmatrix}$  (griechische Indizes:  $\mu = 0, \dots, 3$ )

$$\vec{x} = (x^i) = \begin{pmatrix} x^1 \\ x^2 \\ x^3 \end{pmatrix} \quad (\text{lateinische Indizes: } i = 1, 2, 3)$$

▶  $(x_\mu) = \begin{pmatrix} x_0 \\ x_1 \\ x_2 \\ x_3 \end{pmatrix} = \begin{pmatrix} x^0 \\ -x^1 \\ -x^2 \\ -x^3 \end{pmatrix} = \begin{pmatrix} x^0 \\ -\vec{x} \end{pmatrix} = \begin{pmatrix} t \\ -\vec{x} \end{pmatrix}$

▶  $x_\mu = \sum_\nu g_{\mu\nu} x^\nu \equiv g_{\mu\nu} x^\nu$ , metrischer Tensor:  $(g_{\mu\nu}) = \begin{pmatrix} 1 & 0 & 0 & 0 \\ 0 & -1 & 0 & 0 \\ 0 & 0 & -1 & 0 \\ 0 & 0 & 0 & -1 \end{pmatrix}$

(„Westcoast-Konvention“)



- ▶ Lorentz-Transformationen (Boosts, Rotationen, Raum- und Zeitspiegelung):

$$x'^{\mu} \rightarrow x^{\mu} = \Lambda^{\mu}_{\nu} x'^{\nu}, \quad x'_{\mu} = \Lambda_{\mu}^{\nu} x_{\nu}$$



- ▶ Lorentz-Transformationen (Boosts, Rotationen, Raum- und Zeitspiegelung):

$$x^\mu \rightarrow x'^\mu = \Lambda^\mu{}_\nu x^\nu, \quad x'_\mu = \Lambda_\mu{}^\nu x_\nu$$

- ▶ kontravarianter (kovarianter) Vierervektor:

4-komponentige Größe, die sich genauso transformiert wie  $x^\mu$  ( $x_\mu$ )



- ▶ Lorentz-Transformationen (Boosts, Rotationen, Raum- und Zeitspiegelung):

$$x^\mu \rightarrow x'^\mu = \Lambda^\mu{}_\nu x^\nu, \quad x'^\mu = \Lambda^\mu{}_\nu x^\nu$$

- ▶ kontravarianter (kovarianter) Vierervektor:

4-komponentige Größe, die sich genauso transformiert wie  $x^\mu$  ( $x_\mu$ )

- ▶ Ableitungen:

$$(\partial_\mu) \equiv \left( \frac{\partial}{\partial x^\mu} \right) = \begin{pmatrix} \frac{\partial}{\partial t} \\ \vec{\nabla} \end{pmatrix} \quad \text{transformiert sich kovariant!}$$

$$(\partial^\mu) \equiv \left( \frac{\partial}{\partial x_\mu} \right) = \begin{pmatrix} \frac{\partial}{\partial t} \\ -\vec{\nabla} \end{pmatrix} \quad \text{transformiert sich kontravariant!} \quad (\rightarrow \text{Übung})$$



- ▶ Lorentz-Transformationen (Boosts, Rotationen, Raum- und Zeitspiegelung):

$$x^\mu \rightarrow x'^\mu = \Lambda^\mu{}_\nu x^\nu, \quad x'^\mu = \Lambda^\mu{}_\nu x^\nu$$

- ▶ kontravarianter (kovarianter) Vierervektor:

4-komponentige Größe, die sich genauso transformiert wie  $x^\mu$  ( $x_\mu$ )

- ▶ Ableitungen:

$$(\partial_\mu) \equiv \left( \frac{\partial}{\partial x^\mu} \right) = \begin{pmatrix} \frac{\partial}{\partial t} \\ \vec{\nabla} \end{pmatrix} \quad \text{transformiert sich kovariant!}$$

$$(\partial^\mu) \equiv \left( \frac{\partial}{\partial x_\mu} \right) = \begin{pmatrix} \frac{\partial}{\partial t} \\ -\vec{\nabla} \end{pmatrix} \quad \text{transformiert sich kontravariant!} \quad (\rightarrow \text{Übung})$$

- ▶ Skalarprodukt:  $a \cdot b \equiv a_\mu b^\mu = g_{\mu\nu} a^\mu b^\nu$  Lorentz-invariant



- ▶ Lorentz-Transformationen (Boosts, Rotationen, Raum- und Zeitspiegelung):

$$x^\mu \rightarrow x'^\mu = \Lambda^\mu{}_\nu x^\nu, \quad x'{}_\mu = \Lambda_\mu{}^\nu x_\nu$$

- ▶ kontravarianter (kovarianter) Vierervektor:

4-komponentige Größe, die sich genauso transformiert wie  $x^\mu$  ( $x_\mu$ )

- ▶ Ableitungen:

$$(\partial_\mu) \equiv \left( \frac{\partial}{\partial x^\mu} \right) = \begin{pmatrix} \frac{\partial}{\partial t} \\ \vec{\nabla} \end{pmatrix} \quad \text{transformiert sich kovariant!}$$

$$(\partial^\mu) \equiv \left( \frac{\partial}{\partial x_\mu} \right) = \begin{pmatrix} \frac{\partial}{\partial t} \\ -\vec{\nabla} \end{pmatrix} \quad \text{transformiert sich kontravariant!} \quad (\rightarrow \text{Übung})$$

- ▶ Skalarprodukt:  $a \cdot b \equiv a_\mu b^\mu = g_{\mu\nu} a^\mu b^\nu$  Lorentz-invariant

$$\text{insbesondere: } x'{}_\mu x'^{\mu} = x_\mu x^\mu \quad \Rightarrow \quad \Lambda_\mu{}^\alpha \Lambda^\mu{}_\beta = g^\alpha{}_\beta = \delta_{\alpha\beta} \quad (\rightarrow \text{Übung})$$

---

## I.4 Kurzurückblick auf relevante physikalische Grundlagen

---



TECHNISCHE  
UNIVERSITÄT  
DARMSTADT

---

## I.4.1 Klassische Mechanik



TECHNISCHE  
UNIVERSITÄT  
DARMSTADT

---

## I.4.1 Klassische Mechanik



- ▶  $n$  Punktmassen mit generalisierten Koordinaten  $q_k(t)$

## I.4.1 Klassische Mechanik



- ▶  $n$  Punktmassen mit generalisierten Koordinaten  $q_k(t)$
- ▶ Lagrange-Funktion;  $L(q_k, \dot{q}_k) = T - V$

## I.4.1 Klassische Mechanik



- ▶  $n$  Punktmassen mit generalisierten Koordinaten  $q_k(t)$
- ▶ Lagrange-Funktion;  $L(q_k, \dot{q}_k) = T - V$
- ▶ Wirkung:  $S = \int_{t_1}^{t_2} dt L(q_k(t), \dot{q}_k(t))$

## I.4.1 Klassische Mechanik

▶  $n$  Punktmassen mit generalisierten Koordinaten  $q_k(t)$

▶ Lagrange-Funktion;  $L(q_k, \dot{q}_k) = T - V$

▶ Wirkung:  $S = \int_{t_1}^{t_2} dt L(q_k(t), \dot{q}_k(t))$

▶ Hamilton'sches Prinzip:  $\delta S = 0$

$$\Rightarrow \frac{d}{dt} \frac{\partial L}{\partial \dot{q}_k} - \frac{\partial L}{\partial q_k} = 0 \quad (\text{Euler-Lagrange-Gleichungen})$$



## I.4.1 Klassische Mechanik

- ▶  $n$  Punktmassen mit generalisierten Koordinaten  $q_k(t)$

- ▶ Lagrange-Funktion;  $L(q_k, \dot{q}_k) = T - V$

- ▶ Wirkung:  $S = \int_{t_1}^{t_2} dt L(q_k(t), \dot{q}_k(t))$

- ▶ Hamilton'sches Prinzip:  $\delta S = 0$

$$\Rightarrow \frac{d}{dt} \frac{\partial L}{\partial \dot{q}_k} - \frac{\partial L}{\partial q_k} = 0 \quad (\text{Euler-Lagrange-Gleichungen})$$

- ▶ kanonisch konjugierte Impulse:  $p_k = \frac{\partial L}{\partial \dot{q}_k}$

## I.4.1 Klassische Mechanik

- ▶  $n$  Punktmassen mit generalisierten Koordinaten  $q_k(t)$

- ▶ Lagrange-Funktion;  $L(q_k, \dot{q}_k) = T - V$

- ▶ Wirkung:  $S = \int_{t_1}^{t_2} dt L(q_k(t), \dot{q}_k(t))$

- ▶ Hamilton'sches Prinzip:  $\delta S = 0$

$$\Rightarrow \frac{d}{dt} \frac{\partial L}{\partial \dot{q}_k} - \frac{\partial L}{\partial q_k} = 0 \quad (\text{Euler-Lagrange-Gleichungen})$$

- ▶ kanonisch konjugierte Impulse:  $p_k = \frac{\partial L}{\partial \dot{q}_k}$

- ▶ Hamilton-Funktion:  $H = \sum_k p_k \dot{q}_k - L$

## I.4.2 Elektrodynamik (kovariante Notation)

---



TECHNISCHE  
UNIVERSITÄT  
DARMSTADT

---

## I.4.2 Elektrodynamik (kovariante Notation)



► Viererpotenzial:  $(A^\mu) = \begin{pmatrix} \phi \\ \vec{A} \end{pmatrix}$

## I.4.2 Elektrodynamik (kovariante Notation)



- ▶ Viererpotenzial:  $(A^\mu) = \begin{pmatrix} \phi \\ \vec{A} \end{pmatrix}$
- ▶ Feldstärketensor:  $F^{\mu\nu} = \partial^\mu A^\nu - \partial^\nu A^\mu$

## I.4.2 Elektrodynamik (kovariante Notation)

► Viererpotenzial:  $(A^\mu) = \begin{pmatrix} \phi \\ \vec{A} \end{pmatrix}$

► Feldstärketensor:  $F^{\mu\nu} = \partial^\mu A^\nu - \partial^\nu A^\mu$

elektrische und magnetische Felder:  $F^{0i} = -E^i$ ,  $F^{ij} = -\epsilon^{ijk} B^k$

mit  $\epsilon^{ijk} = \begin{cases} +1 & \text{für } (i, j, k) \text{ zyklische Permutation von } (1, 2, 3) \\ -1 & \text{antizykl.} \\ 0 & \text{sonst} \end{cases}$

## I.4.2 Elektrodynamik (kovariante Notation)

► Viererpotenzial:  $(A^\mu) = \begin{pmatrix} \phi \\ \vec{A} \end{pmatrix}$

► Feldstärketensor:  $F^{\mu\nu} = \partial^\mu A^\nu - \partial^\nu A^\mu$

elektrische und magnetische Felder:  $F^{0i} = -E^i$ ,  $F^{ij} = -\epsilon^{ijk} B^k$

mit  $\epsilon^{ijk} = \begin{cases} +1 & \text{für } (i, j, k) \text{ zyklische Permutation von } (1, 2, 3) \\ -1 & \text{antizykl.} \\ 0 & \text{sonst} \end{cases}$

► Vierer- (Ladungs-) Strom:  $(j^\mu) = \begin{pmatrix} \rho \\ \vec{j} \end{pmatrix}$

## I.4.2 Elektrodynamik (kovariante Notation)

▶ Viererpotenzial:  $(A^\mu) = \begin{pmatrix} \phi \\ \vec{A} \end{pmatrix}$

▶ Feldstärketensor:  $F^{\mu\nu} = \partial^\mu A^\nu - \partial^\nu A^\mu$

elektrische und magnetische Felder:  $F^{0i} = -E^i$ ,  $F^{ij} = -\epsilon^{ijk} B^k$

mit  $\epsilon^{ijk} = \begin{cases} +1 & \text{für } (i, j, k) \text{ zyklische Permutation von } (1, 2, 3) \\ -1 & \text{antizykl.} \\ 0 & \text{sonst} \end{cases}$

▶ Vierer- (Ladungs-) Strom:  $(j^\mu) = \begin{pmatrix} \rho \\ \vec{j} \end{pmatrix}$

▶ Maxwell-Gleichungen:  $\partial_\mu F^{\mu\nu} = j^\nu$ ,  $\partial_\mu \tilde{F}^{\mu\nu} = 0$

▶ „dualer Feldstärketensor“:  $\tilde{F}^{\mu\nu} = \epsilon^{\mu\nu\rho\sigma} F_{\rho\sigma}$

▶  $\epsilon^{\mu\nu\rho\sigma}$  analog zu  $\epsilon^{ijk}$  mit  $\epsilon^{0123} = +1$



## I.4.3 Nichtrelativistische Quantenmechanik

---



TECHNISCHE  
UNIVERSITÄT  
DARMSTADT

---

## I.4.3 Nichtrelativistische Quantenmechanik



► Welle-Teilchen-Dualismus:

ebene Welle  $\psi(t, \vec{r}) \sim e^{i(\vec{k} \cdot \vec{r} - \omega t)}$

≐ Teilchen mit Impuls  $\vec{p} = \hbar \vec{k} \equiv \vec{k}$  und Energie  $\vec{E} = \hbar \omega \equiv \omega$

## I.4.3 Nichtrelativistische Quantenmechanik



► Welle-Teilchen-Dualismus:

ebene Welle  $\psi(t, \vec{r}) \sim e^{i(\vec{k} \cdot \vec{r} - \omega t)}$

$\hat{=}$  Teilchen mit Impuls  $\vec{p} = \hbar \vec{k} \equiv \vec{k}$  und Energie  $\vec{E} = \hbar \omega \equiv \omega$

→ hermitesche Operatoren:  $\hat{p} = \frac{\hbar}{i} \vec{\nabla} \equiv -i \vec{\nabla}$ ,  $\hat{E} = i \hbar \frac{\partial}{\partial t} \equiv i \frac{\partial}{\partial t}$

## I.4.3 Nichtrelativistische Quantenmechanik



► Welle-Teilchen-Dualismus:

ebene Welle  $\psi(t, \vec{r}) \sim e^{i(\vec{k} \cdot \vec{r} - \omega t)}$

≐ Teilchen mit Impuls  $\vec{p} = \hbar \vec{k} \equiv \vec{k}$  und Energie  $\vec{E} = \hbar \omega \equiv \omega$

→ hermitesche Operatoren:  $\hat{p} = \frac{\hbar}{i} \vec{\nabla} \equiv -i \vec{\nabla}$ ,  $\hat{E} = i \hbar \frac{\partial}{\partial t} \equiv i \frac{\partial}{\partial t}$

► nichtrelativistische Energie-Impuls-Beziehung:  $E = \frac{\vec{p}^2}{2m} + V$

## I.4.3 Nichtrelativistische Quantenmechanik



► Welle-Teilchen-Dualismus:

ebene Welle  $\psi(t, \vec{r}) \sim e^{i(\vec{k} \cdot \vec{r} - \omega t)}$

≐ Teilchen mit Impuls  $\vec{p} = \hbar \vec{k} \equiv \vec{k}$  und Energie  $\vec{E} = \hbar \omega \equiv \omega$

→ hermitesche Operatoren:  $\hat{\vec{p}} = \frac{\hbar}{i} \vec{\nabla} \equiv -i \vec{\nabla}$ ,  $\hat{E} = i \hbar \frac{\partial}{\partial t} \equiv i \frac{\partial}{\partial t}$

► nichtrelativistische Energie-Impuls-Beziehung:  $E = \frac{\vec{p}^2}{2m} + V$

→ Schrödinger-Gleichung:  $\hat{H} \psi(t, \vec{r}) \equiv \left( -\frac{1}{2m} \vec{\nabla}^2 + V \right) \psi(t, \vec{r}) = i \frac{\partial}{\partial t} \psi(t, \vec{r})$

## I.4.3 Nichtrelativistische Quantenmechanik

▶ Welle-Teilchen-Dualismus:

ebene Welle  $\psi(t, \vec{r}) \sim e^{i(\vec{k} \cdot \vec{r} - \omega t)}$

≐ Teilchen mit Impuls  $\vec{p} = \hbar \vec{k} \equiv \vec{k}$  und Energie  $\vec{E} = \hbar \omega \equiv \omega$

→ hermitesche Operatoren:  $\hat{p} = \frac{\hbar}{i} \vec{\nabla} \equiv -i \vec{\nabla}$ ,  $\hat{E} = i \hbar \frac{\partial}{\partial t} \equiv i \frac{\partial}{\partial t}$

▶ nichtrelativistische Energie-Impuls-Beziehung:  $E = \frac{\vec{p}^2}{2m} + V$

→ Schrödinger-Gleichung:  $\hat{H} \psi(t, \vec{r}) \equiv \left( -\frac{1}{2m} \vec{\nabla}^2 + V \right) \psi(t, \vec{r}) = i \frac{\partial}{\partial t} \psi(t, \vec{r})$

▶ etwas formaler:

▶ Hilbert-Raum-Zustand  $|\psi(t)\rangle$

## I.4.3 Nichtrelativistische Quantenmechanik

▶ Welle-Teilchen-Dualismus:

ebene Welle  $\psi(t, \vec{r}) \sim e^{i(\vec{k} \cdot \vec{r} - \omega t)}$

$\hat{=}$  Teilchen mit Impuls  $\vec{p} = \hbar \vec{k} \equiv \vec{k}$  und Energie  $\vec{E} = \hbar \omega \equiv \omega$

→ hermitesche Operatoren:  $\hat{\vec{p}} = \frac{\hbar}{i} \vec{\nabla} \equiv -i \vec{\nabla}$ ,  $\hat{E} = i \hbar \frac{\partial}{\partial t} \equiv i \frac{\partial}{\partial t}$

▶ nichtrelativistische Energie-Impuls-Beziehung:  $E = \frac{\vec{p}^2}{2m} + V$

→ Schrödinger-Gleichung:  $\hat{H} \psi(t, \vec{r}) \equiv \left( -\frac{1}{2m} \vec{\nabla}^2 + V \right) \psi(t, \vec{r}) = i \frac{\partial}{\partial t} \psi(t, \vec{r})$

▶ etwas formaler:

▶ Hilbert-Raum-Zustand  $|\psi(t)\rangle$

▶ Ortsraum-Darstellung:  $\psi(t, \vec{x}) = \langle \vec{x} | \psi(t) \rangle$ , wobei  $\hat{\vec{x}} | \vec{x} \rangle = \vec{x} | \vec{x} \rangle$

(Impulsraumdarstellung analog)

## I.4.3 Nichtrelativistische Quantenmechanik



▶ Welle-Teilchen-Dualismus:

ebene Welle  $\psi(t, \vec{r}) \sim e^{i(\vec{k} \cdot \vec{r} - \omega t)}$

$\hat{=}$  Teilchen mit Impuls  $\vec{p} = \hbar \vec{k} \equiv \vec{k}$  und Energie  $\vec{E} = \hbar \omega \equiv \omega$

→ hermitesche Operatoren:  $\hat{p} = \frac{\hbar}{i} \vec{\nabla} \equiv -i \vec{\nabla}$ ,  $\hat{E} = i \hbar \frac{\partial}{\partial t} \equiv i \frac{\partial}{\partial t}$

▶ nichtrelativistische Energie-Impuls-Beziehung:  $E = \frac{\vec{p}^2}{2m} + V$

→ Schrödinger-Gleichung:  $\hat{H} \psi(t, \vec{r}) \equiv \left( -\frac{1}{2m} \vec{\nabla}^2 + V \right) \psi(t, \vec{r}) = i \frac{\partial}{\partial t} \psi(t, \vec{r})$

▶ etwas formaler:

▶ Hilbert-Raum-Zustand  $|\psi(t)\rangle$

▶ Ortsraum-Darstellung:  $\psi(t, \vec{x}) = \langle \vec{x} | \psi(t) \rangle$ , wobei  $\hat{x} | \vec{x} \rangle = \vec{x} | \vec{x} \rangle$

(Impulsraumdarstellung analog)

▶ kanonische Quantisierung:  $[\hat{x}_m, \hat{p}_n] = i \hbar \delta_{mn} \equiv i \delta_{mn}$





- ▶ Observable  $\leftrightarrow \langle \psi_1 | \hat{O} | \psi_2 \rangle$ ,  $\hat{O}$  = hermitescher Operator

- ▶ Observable  $\leftrightarrow \langle \psi_1 | \hat{O} | \psi_2 \rangle$ ,  $\hat{O}$  = hermitescher Operator
- ▶ Schrödinger-Bild:
  - ▶ Operatoren zeitunabhängig
  - ▶ Zustände zeitabhängig

- ▶ Observable  $\leftrightarrow \langle \psi_1 | \hat{O} | \psi_2 \rangle$ ,  $\hat{O}$  = hermitescher Operator
- ▶ Schrödinger-Bild:
  - ▶ Operatoren zeitunabhängig
  - ▶ Zustände zeitabhängig
  - ▶ Bewegungsgleichung:  $H|\psi(t)\rangle = i\frac{\partial}{\partial t}|\psi(t)\rangle$

▶ Observable  $\leftrightarrow \langle \psi_1 | \hat{O} | \psi_2 \rangle$ ,  $\hat{O}$  = hermitescher Operator

▶ Schrödinger-Bild:

▶ Operatoren zeitunabhängig

▶ Zustände zeitabhängig

▶ Bewegungsgleichung:  $H|\psi(t)\rangle = i\frac{\partial}{\partial t}|\psi(t)\rangle$

$$\Rightarrow |\psi(t)\rangle = e^{-iHt}|\psi(0)\rangle \quad \Rightarrow \langle \psi_1(t) | \hat{O} | \psi_2(t) \rangle = \langle \psi_1(0) | e^{iHt} \hat{O} e^{-iHt} | \psi_2(0) \rangle$$

- ▶ Observable  $\leftrightarrow \langle \psi_1 | \hat{O} | \psi_2 \rangle$ ,  $\hat{O}$  = hermitescher Operator
- ▶ Schrödinger-Bild:
  - ▶ Operatoren zeitunabhängig
  - ▶ Zustände zeitabhängig
  - ▶ Bewegungsgleichung:  $H|\psi(t)\rangle = i\frac{\partial}{\partial t}|\psi(t)\rangle$   
 $\Rightarrow |\psi(t)\rangle = e^{-iHt}|\psi(0)\rangle \Rightarrow \langle \psi_1(t) | \hat{O} | \psi_2(t) \rangle = \langle \psi_1(0) | e^{iHt} \hat{O} e^{-iHt} | \psi_2(0) \rangle$
- ▶ Heisenberg-Bild:
  - ▶ Zustände zeitunabhängig:  $|\psi_H\rangle = |\psi_S(0)\rangle$
  - ▶ Operatoren zeitabhängig:  $\hat{O}_H(t) = e^{iHt} \hat{O}_S e^{-iHt}$

- ▶ Observable  $\leftrightarrow \langle \psi_1 | \hat{O} | \psi_2 \rangle$ ,  $\hat{O}$  = hermitescher Operator
- ▶ Schrödinger-Bild:
  - ▶ Operatoren zeitunabhängig
  - ▶ Zustände zeitabhängig
  - ▶ Bewegungsgleichung:  $H|\psi(t)\rangle = i\frac{\partial}{\partial t}|\psi(t)\rangle$   
 $\Rightarrow |\psi(t)\rangle = e^{-iHt}|\psi(0)\rangle \Rightarrow \langle \psi_1(t) | \hat{O} | \psi_2(t) \rangle = \langle \psi_1(0) | e^{iHt} \hat{O} e^{-iHt} | \psi_2(0) \rangle$
- ▶ Heisenberg-Bild:
  - ▶ Zustände zeitunabhängig:  $|\psi_H\rangle = |\psi_S(0)\rangle$
  - ▶ Operatoren zeitabhängig:  $\hat{O}_H(t) = e^{iHt} \hat{O}_S e^{-iHt}$
  - ▶ Bewegungsgleichung:  $i\frac{d}{dt} \hat{O}_H(t) = [\hat{O}_H(t), H]$

## I.4.4 Relativistische Quantenmechanik

### i) Klein-Gordon-Gleichung (Spin 0)



## I.4.4 Relativistische Quantenmechanik

### i) Klein-Gordon-Gleichung (Spin 0)



- ▶ relativistische Energie-Impuls-Beziehung für freie Teilchen:  $E^2 = \vec{p}^2 + m^2$



## I.4.4 Relativistische Quantenmechanik

### i) Klein-Gordon-Gleichung (Spin 0)



- ▶ relativistische Energie-Impuls-Beziehung für freie Teilchen:  $E^2 = \vec{p}^2 + m^2$
- ▶ Ersetzung durch Operatoren:  $E \rightarrow i\frac{\partial}{\partial t}$ ,  $\vec{p} \rightarrow -i\vec{\nabla}$

## I.4.4 Relativistische Quantenmechanik

### i) Klein-Gordon-Gleichung (Spin 0)



- ▶ relativistische Energie-Impuls-Beziehung für freie Teilchen:  $E^2 = \vec{p}^2 + m^2$
- ▶ Ersetzung durch Operatoren:  $E \rightarrow i\frac{\partial}{\partial t}$ ,  $\vec{p} \rightarrow -i\vec{\nabla}$   
 $\Rightarrow (\partial_\mu \partial^\mu + m^2) \Phi(x) = 0$  (Klein-Gordon-Gleichung)

## I.4.4 Relativistische Quantenmechanik

### i) Klein-Gordon-Gleichung (Spin 0)

- ▶ relativistische Energie-Impuls-Beziehung für freie Teilchen:  $E^2 = \vec{p}^2 + m^2$
- ▶ Ersetzung durch Operatoren:  $E \rightarrow i\frac{\partial}{\partial t}$ ,  $\vec{p} \rightarrow -i\vec{\nabla}$   
 $\Rightarrow (\partial_\mu \partial^\mu + m^2) \Phi(x) = 0$  (Klein-Gordon-Gleichung)
- ▶ Lösungen:  $\Phi(x) \sim e^{-ip \cdot x} = e^{-i(Et - \vec{p} \cdot \vec{x})}$  mit  $E^2 = \vec{p}^2 + m^2$

## I.4.4 Relativistische Quantenmechanik

### i) Klein-Gordon-Gleichung (Spin 0)

- ▶ relativistische Energie-Impuls-Beziehung für freie Teilchen:  $E^2 = \vec{p}^2 + m^2$
- ▶ Ersetzung durch Operatoren:  $E \rightarrow i\frac{\partial}{\partial t}$ ,  $\vec{p} \rightarrow -i\vec{\nabla}$   
 $\Rightarrow (\partial_\mu \partial^\mu + m^2) \Phi(x) = 0$  (Klein-Gordon-Gleichung)
- ▶ Lösungen:  $\Phi(x) \sim e^{-ip \cdot x} = e^{-i(Et - \vec{p} \cdot \vec{x})}$  mit  $E^2 = \vec{p}^2 + m^2$
- ▶ erhaltener Viererstrom:  $\partial_\mu j^\mu = 0$  mit  $j^\mu = \frac{i}{2m} (\Phi^* \partial^\mu \Phi - \Phi \partial^\mu \Phi^*)$

## I.4.4 Relativistische Quantenmechanik

### i) Klein-Gordon-Gleichung (Spin 0)

- ▶ relativistische Energie-Impuls-Beziehung für freie Teilchen:  $E^2 = \vec{p}^2 + m^2$
- ▶ Ersetzung durch Operatoren:  $E \rightarrow i\frac{\partial}{\partial t}$ ,  $\vec{p} \rightarrow -i\vec{\nabla}$   
 $\Rightarrow (\partial_\mu \partial^\mu + m^2) \Phi(x) = 0$  (Klein-Gordon-Gleichung)
- ▶ Lösungen:  $\Phi(x) \sim e^{-ip \cdot x} = e^{-i(Et - \vec{p} \cdot \vec{x})}$  mit  $E^2 = \vec{p}^2 + m^2$
- ▶ erhaltener Viererstrom:  $\partial_\mu j^\mu = 0$  mit  $j^\mu = \frac{i}{2m} (\Phi^* \partial^\mu \Phi - \Phi \partial^\mu \Phi^*)$
- ▶ Probleme:

## I.4.4 Relativistische Quantenmechanik

### i) Klein-Gordon-Gleichung (Spin 0)

- ▶ relativistische Energie-Impuls-Beziehung für freie Teilchen:  $E^2 = \vec{p}^2 + m^2$
- ▶ Ersetzung durch Operatoren:  $E \rightarrow i\frac{\partial}{\partial t}$ ,  $\vec{p} \rightarrow -i\vec{\nabla}$   
 $\Rightarrow (\partial_\mu \partial^\mu + m^2) \Phi(x) = 0$  (Klein-Gordon-Gleichung)
- ▶ Lösungen:  $\Phi(x) \sim e^{-ip \cdot x} = e^{-i(Et - \vec{p} \cdot \vec{x})}$  mit  $E^2 = \vec{p}^2 + m^2$
- ▶ erhaltener Viererstrom:  $\partial_\mu j^\mu = 0$  mit  $j^\mu = \frac{i}{2m} (\Phi^* \partial^\mu \Phi - \Phi \partial^\mu \Phi^*)$
- ▶ Probleme:
  - ▶  $E = \pm \sqrt{\vec{p}^2 + m^2}$ , d.h. auch negative Energien erlaubt  
 $\Rightarrow$  Stabilitätsproblem (Spektrum nicht nach unten beschränkt)!

## I.4.4 Relativistische Quantenmechanik

### i) Klein-Gordon-Gleichung (Spin 0)



- ▶ relativistische Energie-Impuls-Beziehung für freie Teilchen:  $E^2 = \vec{p}^2 + m^2$
- ▶ Ersetzung durch Operatoren:  $E \rightarrow i\frac{\partial}{\partial t}$ ,  $\vec{p} \rightarrow -i\vec{\nabla}$   
 $\Rightarrow (\partial_\mu \partial^\mu + m^2) \Phi(x) = 0$  (Klein-Gordon-Gleichung)
- ▶ Lösungen:  $\Phi(x) \sim e^{-ip \cdot x} = e^{-i(Et - \vec{p} \cdot \vec{x})}$  mit  $E^2 = \vec{p}^2 + m^2$
- ▶ erhaltener Viererstrom:  $\partial_\mu j^\mu = 0$  mit  $j^\mu = \frac{i}{2m} (\Phi^* \partial^\mu \Phi - \Phi \partial^\mu \Phi^*)$
- ▶ Probleme:
  - ▶  $E = \pm \sqrt{\vec{p}^2 + m^2}$ , d.h. auch negative Energien erlaubt  
 $\Rightarrow$  Stabilitätsproblem (Spektrum nicht nach unten beschränkt)!
  - ▶  $\rho = j^0 < 0$  für  $E < 0 \Rightarrow$  keine Wahrscheinlichkeitsinterpretation!

## ii) Dirac-Gleichung (Spin $\frac{1}{2}$ )



TECHNISCHE  
UNIVERSITÄT  
DARMSTADT



## ii) Dirac-Gleichung (Spin $\frac{1}{2}$ )



- ▶ Ansatz: partielle Dgl. 1. Ordnung in Ort- und Zeit

## ii) Dirac-Gleichung (Spin $\frac{1}{2}$ )



- ▶ Ansatz: partielle Dgl. 1. Ordnung in Ort- und Zeit
- ▶ Fordere Konsistenz mit relativist. Energie-Impuls-Beziehung

## ii) Dirac-Gleichung (Spin $\frac{1}{2}$ )



- ▶ Ansatz: partielle Dgl. 1. Ordnung in Ort- und Zeit
- ▶ Fordere Konsistenz mit relativist. Energie-Impuls-Beziehung

→  $(i\gamma^\mu \partial_\mu - m) \psi(x) = 0$  (Dirac-Gleichung)

## ii) Dirac-Gleichung (Spin $\frac{1}{2}$ )



- ▶ Ansatz: partielle Dgl. 1. Ordnung in Ort- und Zeit
- ▶ Fordere Konsistenz mit relativist. Energie-Impuls-Beziehung

→  $(i\gamma^\mu \partial_\mu - m) \psi(x) = 0$  (Dirac-Gleichung)

- ▶  $\gamma^\mu$ : antikommutierende  $4 \times 4$ -Matrizen,  $\{\gamma^\mu, \gamma^\nu\} = 2g^{\mu\nu}$

## ii) Dirac-Gleichung (Spin $\frac{1}{2}$ )

- ▶ Ansatz: partielle Dgl. 1. Ordnung in Ort- und Zeit
- ▶ Fordere Konsistenz mit relativist. Energie-Impuls-Beziehung

→  $(i\gamma^\mu \partial_\mu - m) \psi(x) = 0$  (Dirac-Gleichung)

- ▶  $\gamma^\mu$ : antikommutierende  $4 \times 4$ -Matrizen,  $\{\gamma^\mu, \gamma^\nu\} = 2g^{\mu\nu}$

- ▶  $\psi = \begin{pmatrix} \psi_1 \\ \psi_2 \\ \psi_3 \\ \psi_4 \end{pmatrix}$  („Dirac-Spinoren“)

## ii) Dirac-Gleichung (Spin $\frac{1}{2}$ )



- ▶ Ansatz: partielle Dgl. 1. Ordnung in Ort- und Zeit
- ▶ Fordere Konsistenz mit relativist. Energie-Impuls-Beziehung

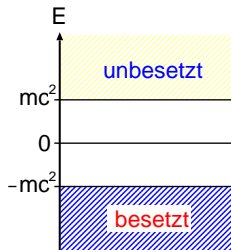
→  $(i\gamma^\mu \partial_\mu - m) \psi(x) = 0$  (Dirac-Gleichung)

- ▶  $\gamma^\mu$ : antikommutierende  $4 \times 4$ -Matrizen,  $\{\gamma^\mu, \gamma^\nu\} = 2g^{\mu\nu}$

- ▶  $\psi = \begin{pmatrix} \psi_1 \\ \psi_2 \\ \psi_3 \\ \psi_4 \end{pmatrix}$  („Dirac-Spinoren“)

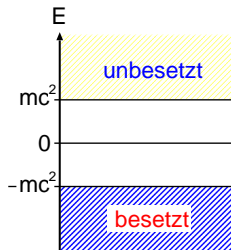
- ▶ Auch hier gibt es Lösungen negativer Energie!

- ▶ physikalisches Vakuum („Dirac-See“):
  - ▶ alle Zustände mit  $E > 0$  unbesetzt
  - ▶ alle Zustände mit  $E < 0$  besetzt





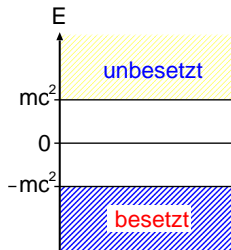
- ▶ physikalisches Vakuum („Dirac-See“):
  - ▶ alle Zustände mit  $E > 0$  unbesetzt
  - ▶ alle Zustände mit  $E < 0$  besetzt
- Übergang von zusätzlichen Teilchen in  $E < 0$ -Zustände Pauli-verboten!
- stabiler Grundzustand





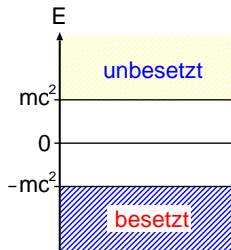


- ▶ physikalisches Vakuum („Dirac-See“):
  - ▶ alle Zustände mit  $E > 0$  unbesetzt
  - ▶ alle Zustände mit  $E < 0$  besetzt
  - Übergang von zusätzlichen Teilchen in  $E < 0$ -Zustände Pauli-verboten!
  - stabiler Grundzustand
- ▶ Energie und Ladung des Vakuums =  $-\infty$  (für  $e^-$ )

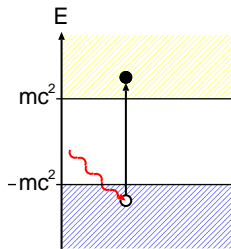




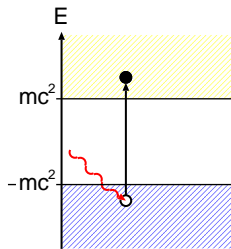
- ▶ physikalisches Vakuum („Dirac-See“):
  - ▶ alle Zustände mit  $E > 0$  unbesetzt
  - ▶ alle Zustände mit  $E < 0$  besetzt
  - Übergang von zusätzlichen Teilchen in  $E < 0$ -Zustände Pauli-verboten!
  - stabiler Grundzustand
- ▶ Energie und Ladung des Vakuums =  $-\infty$  (für  $e^-$ )
  - Definiere  $E_{phys}$  und  $Q_{phys}$  relativ zum gefüllten Dirac-See.



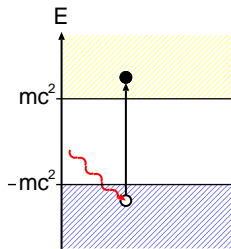
- ▶ physikalisches Vakuum („Dirac-See“):
  - ▶ alle Zustände mit  $E > 0$  unbesetzt
  - ▶ alle Zustände mit  $E < 0$  besetzt
  - Übergang von zusätzlichen Teilchen in  $E < 0$ -Zustände Pauli-verboten!
  - stabiler Grundzustand
- ▶ Energie und Ladung des Vakuums =  $-\infty$  (für  $e^-$ )
  - Definiere  $E_{phys}$  und  $Q_{phys}$  relativ zum gefüllten Dirac-See.
- ▶ Anregung eines Fermions aus dem See in einen Zustand mit  $E > 0$ :



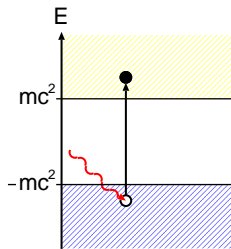
- ▶ physikalisches Vakuum („Dirac-See“):
  - ▶ alle Zustände mit  $E > 0$  unbesetzt
  - ▶ alle Zustände mit  $E < 0$  besetzt
  - Übergang von zusätzlichen Teilchen in  $E < 0$ -Zustände Pauli-verboten!
  - stabiler Grundzustand
- ▶ Energie und Ladung des Vakuums =  $-\infty$  (für  $e^-$ )
  - Definiere  $E_{phys}$  und  $Q_{phys}$  relativ zum gefüllten Dirac-See.
- ▶ Anregung eines Fermions aus dem See in einen Zustand mit  $E > 0$ :
  - ≐ Erzeugung eines Teilchen-Antiteilchen-Paars!



- ▶ physikalisches Vakuum („Dirac-See“):
  - ▶ alle Zustände mit  $E > 0$  unbesetzt
  - ▶ alle Zustände mit  $E < 0$  besetzt
  - Übergang von zusätzlichen Teilchen in  $E < 0$ -Zustände Pauli-verboten!
  - stabiler Grundzustand
- ▶ Energie und Ladung des Vakuums =  $-\infty$  (für  $e^-$ )
  - Definiere  $E_{phys}$  und  $Q_{phys}$  relativ zum gefüllten Dirac-See.
- ▶ Anregung eines Fermions aus dem See in einen Zustand mit  $E > 0$ :
  - ≐ Erzeugung eines Teilchen-Antiteilchen-Paars!
- ▶ Die Löchertheorie ist automatisch eine ( $\infty$ -) Vielteilchentheorie.



- ▶ physikalisches Vakuum („Dirac-See“):
  - ▶ alle Zustände mit  $E > 0$  unbesetzt
  - ▶ alle Zustände mit  $E < 0$  besetzt
  - Übergang von zusätzlichen Teilchen in  $E < 0$ -Zustände Pauli-verboten!
  - stabiler Grundzustand
- ▶ Energie und Ladung des Vakuums =  $-\infty$  (für  $e^-$ )
  - Definiere  $E_{phys}$  und  $Q_{phys}$  relativ zum gefüllten Dirac-See.
- ▶ Anregung eines Fermions aus dem See in einen Zustand mit  $E > 0$ :
  - ≐ Erzeugung eines Teilchen-Antiteilchen-Paars!
- ▶ Die Löchertheorie ist automatisch eine ( $\infty$ -) Vielteilchentheorie.
- ▶ Sie funktioniert nicht für Bosonen (kein Pauli-Prinzip).



---

# Fazit: Warum Quantenfeldtheorie?

---



TECHNISCHE  
UNIVERSITÄT  
DARMSTADT

---

# Fazit: Warum Quantenfeldtheorie?



TECHNISCHE  
UNIVERSITÄT  
DARMSTADT

- ▶ Elementarteilchenphysik:
  - ▶ kleine Distanzen → Quantentheorie
  - ▶ hohe Energien → spezielle Relativitätstheorie



## Fazit: Warum Quantenfeldtheorie?



TECHNISCHE  
UNIVERSITÄT  
DARMSTADT

- ▶ Elementarteilchenphysik:
  - ▶ kleine Distanzen → Quantentheorie
  - ▶ hohe Energien → spezielle Relativitätstheorie
- ▶ Relativistische QM besitzt Inkonsistenzen, z.B. negative Energien

## Fazit: Warum Quantenfeldtheorie?

- ▶ Elementarteilchenphysik:
  - ▶ kleine Distanzen → Quantentheorie
  - ▶ hohe Energien → spezielle Relativitätstheorie
- ▶ Relativistische QM besitzt Inkonsistenzen, z.B. negative Energien
- ▶ Beschreibung von Vielteilchenprozessen notwendig:  
Unschärferelation:  $\Delta x$  klein  $\Rightarrow \Delta p$  groß  $\Rightarrow \Delta E$  groß  
→ Energie reicht aus, virtuell neue Teilchen zu erzeugen.

## Fazit: Warum Quantenfeldtheorie?



- ▶ Elementarteilchenphysik:
  - ▶ kleine Distanzen → Quantentheorie
  - ▶ hohe Energien → spezielle Relativitätstheorie
- ▶ Relativistische QM besitzt Inkonsistenzen, z.B. negative Energien
- ▶ Beschreibung von Vielteilchenprozessen notwendig:  
Unschärferelation:  $\Delta x$  klein  $\Rightarrow \Delta p$  groß  $\Rightarrow \Delta E$  groß  
→ Energie reicht aus, virtuell neue Teilchen zu erzeugen.
- ▶ Die ursprüngliche QM lässt solche Prozesse nicht zu.

## Fazit: Warum Quantenfeldtheorie?

- ▶ Elementarteilchenphysik:
  - ▶ kleine Distanzen → Quantentheorie
  - ▶ hohe Energien → spezielle Relativitätstheorie
- ▶ Relativistische QM besitzt Inkonsistenzen, z.B. negative Energien
- ▶ Beschreibung von Vielteilchenprozessen notwendig:  
Unschärferelation:  $\Delta x$  klein  $\Rightarrow \Delta p$  groß  $\Rightarrow \Delta E$  groß  
→ Energie reicht aus, virtuell neue Teilchen zu erzeugen.
- ▶ Die ursprüngliche QM lässt solche Prozesse nicht zu.
- ▶ klassische E-Dynamik: Abstrahlung elektromagnetischer Wellen



- ▶ Elementarteilchenphysik:
  - ▶ kleine Distanzen → Quantentheorie
  - ▶ hohe Energien → spezielle Relativitätstheorie
- ▶ Relativistische QM besitzt Inkonsistenzen, z.B. negative Energien
- ▶ Beschreibung von Vielteilchenprozessen notwendig:  
Unschärferelation:  $\Delta x$  klein  $\Rightarrow \Delta p$  groß  $\Rightarrow \Delta E$  groß  
→ Energie reicht aus, virtuell neue Teilchen zu erzeugen.
- ▶ Die ursprüngliche QM lässt solche Prozesse nicht zu.
- ▶ klassische E-Dynamik: Abstrahlung elektromagnetischer Wellen  
(→ nach Quantisierung: Erzeugung von Photonen)



- ▶ Elementarteilchenphysik:
  - ▶ kleine Distanzen → Quantentheorie
  - ▶ hohe Energien → spezielle Relativitätstheorie
- ▶ Relativistische QM besitzt Inkonsistenzen, z.B. negative Energien
- ▶ Beschreibung von Vielteilchenprozessen notwendig:  
Unschärferelation:  $\Delta x$  klein  $\Rightarrow \Delta p$  groß  $\Rightarrow \Delta E$  groß  
→ Energie reicht aus, virtuell neue Teilchen zu erzeugen.
- ▶ Die ursprüngliche QM lässt solche Prozesse nicht zu.
- ▶ klassische E-Dynamik: Abstrahlung elektromagnetischer Wellen  
(→ nach Quantisierung: Erzeugung von Photonen)
- ▶ Die nichtrel. Vielteilchenphysik bedient sich QFT-ähnlicher Methoden  
(„2. Quantisierung“: Erzeugungs- und Vernichtungsoperatoren)



- ▶ Erzeuge Teilchen am Ort  $\vec{x}_0$  und messe nach Zeit  $t$  am Ort  $\vec{x}$ .

qm-Wahrscheinlichkeitsamplitude:  $U(t) = \langle \vec{x} | e^{-iHt} | \vec{x}_0 \rangle$



- ▶ Erzeuge Teilchen am Ort  $\vec{x}_0$  und messe nach Zeit  $t$  am Ort  $\vec{x}$ .

qm-Wahrscheinlichkeitsamplitude:  $U(t) = \langle \vec{x} | e^{-iHt} | \vec{x}_0 \rangle$

- ▶ freies nichtrelativistisches Teilchen:

$$\begin{aligned} U(t) &= \langle \vec{x} | e^{-i\frac{\hat{p}^2}{2m}t} | \vec{x}_0 \rangle = \int \frac{d^3p}{(2\pi)^3} \langle \vec{x} | e^{-i\frac{\hat{p}^2}{2m}t} | \vec{p} \rangle \langle \vec{p} | \vec{x}_0 \rangle \\ &= \int \frac{d^3p}{(2\pi)^3} e^{-i\frac{\vec{p}^2}{2m}t} e^{i\vec{p}\cdot(\vec{x}-\vec{x}_0)} \\ &= \left( \frac{m}{2\pi it} \right)^{3/2} e^{im\frac{(\vec{x}-\vec{x}_0)^2}{2t}} \neq 0 \quad \forall t, \vec{x} \end{aligned}$$





- ▶ Erzeuge Teilchen am Ort  $\vec{x}_0$  und messe nach Zeit  $t$  am Ort  $\vec{x}$ .

qm-Wahrscheinlichkeitsamplitude:  $U(t) = \langle \vec{x} | e^{-iHt} | \vec{x}_0 \rangle$

- ▶ freies nichtrelativistisches Teilchen:

$$\begin{aligned} U(t) &= \langle \vec{x} | e^{-i\frac{\hat{p}^2}{2m}t} | \vec{x}_0 \rangle = \int \frac{d^3p}{(2\pi)^3} \langle \vec{x} | e^{-i\frac{\hat{p}^2}{2m}t} | \vec{p} \rangle \langle \vec{p} | \vec{x}_0 \rangle \\ &= \int \frac{d^3p}{(2\pi)^3} e^{-i\frac{p^2}{2m}t} e^{i\vec{p}\cdot(\vec{x}-\vec{x}_0)} \\ &= \left( \frac{m}{2\pi it} \right)^{3/2} e^{im\frac{(\vec{x}-\vec{x}_0)^2}{2t}} \neq 0 \quad \forall t, \vec{x} \end{aligned}$$

- ▶ relativistische Rechnung: qualitativ ähnliches Resultat  
→ **Kausalitätsverletzung!** ( $|\vec{x} - \vec{x}_0| > t \Leftrightarrow v > c$ )



- ▶ Erzeuge Teilchen am Ort  $\vec{x}_0$  und messe nach Zeit  $t$  am Ort  $\vec{x}$ .

qm-Wahrscheinlichkeitsamplitude:  $U(t) = \langle \vec{x} | e^{-iHt} | \vec{x}_0 \rangle$

- ▶ freies nichtrelativistisches Teilchen:

$$\begin{aligned} U(t) &= \langle \vec{x} | e^{-i\frac{\hat{p}^2}{2m}t} | \vec{x}_0 \rangle = \int \frac{d^3p}{(2\pi)^3} \langle \vec{x} | e^{-i\frac{\hat{p}^2}{2m}t} | \vec{p} \rangle \langle \vec{p} | \vec{x}_0 \rangle \\ &= \int \frac{d^3p}{(2\pi)^3} e^{-i\frac{\vec{p}^2}{2m}t} e^{i\vec{p} \cdot (\vec{x} - \vec{x}_0)} \\ &= \left( \frac{m}{2\pi it} \right)^{3/2} e^{im\frac{(\vec{x} - \vec{x}_0)^2}{2t}} \neq 0 \quad \forall t, \vec{x} \end{aligned}$$

- ▶ relativistische Rechnung: qualitativ ähnliches Resultat

→ **Kausalitätsverletzung!** ( $|\vec{x} - \vec{x}_0| > t \Leftrightarrow v > c$ )

- ▶ QFT löst dieses Problem, indem sich Teilchen- und Antiteilchenamplituden für raumartige Abstände gegenseitig auslöschen.